

1 Wstęp

Celem ćwiczenia była implementacja, testy i wizualizacja podstawowego predykatu geometrycznego - określenia po której stronie prostej znajduje się punkt.

1.1 Wstęp teoretyczny

Niech punkty $a = (a_x, a_y)$ i $b = (b_x, b_y)$ wyznaczają jednoznacznie prostą k .

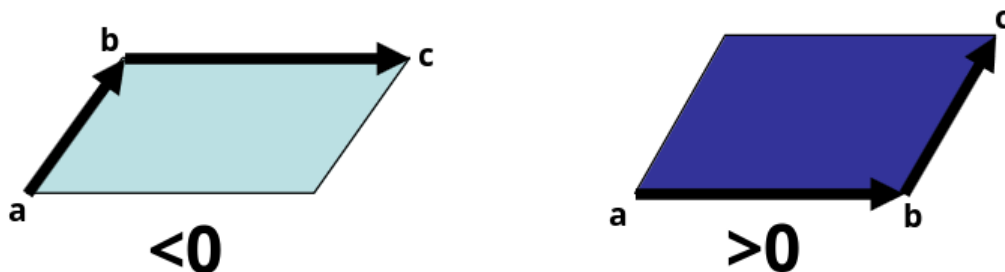
Pozycja punktu $c = (c_x, c_y)$ względem k zależy od wyznacznika $\det(a, b, c)$, który możemy wyliczyć na dwa sposoby:

$$\det(a, b, c) = \begin{vmatrix} a_x & a_y & 1 \\ b_x & b_y & 1 \\ c_x & c_y & 1 \end{vmatrix} \quad \text{lub} \quad (1)$$

$$\det(a, b, c) = \begin{vmatrix} a_x - c_x & a_y - c_y \\ b_x - c_x & b_y - c_y \end{vmatrix}$$

Zależność jest następująca:

$$\begin{aligned} \det(a, b, c) > 0 &\iff c \text{ leży po lewej } k \\ \det(a, b, c) < 0 &\iff c \text{ leży po prawej } k \\ \det(a, b, c) = 0 &\iff c \text{ leży na } k \end{aligned} \quad (2)$$



Rysunek 1: Wizualizacja zależności jako pola równoległoboku

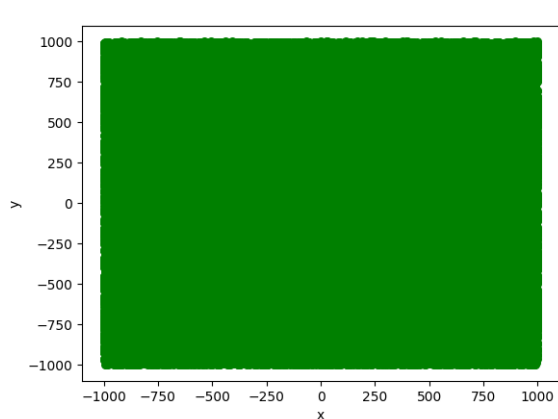
1.2 Specyfikacja narzędzi i sprzętu

Wszystkie potrzebne obliczenia zostały wykonane przy użyciu interpretera języka Python wersji 3.12. Ponadto, w celu wygenerowania zbiorów punktów i sprawdzenia bibliotecznych funkcji wyliczania wyznacznika, użyłem biblioteki `numpy`. Wykresy i wizualizacja wyników została przygotowana za pomocą narzędzia przygotowanego przez koło naukowe Bit. Kod znajduje się w załączonym pliku.

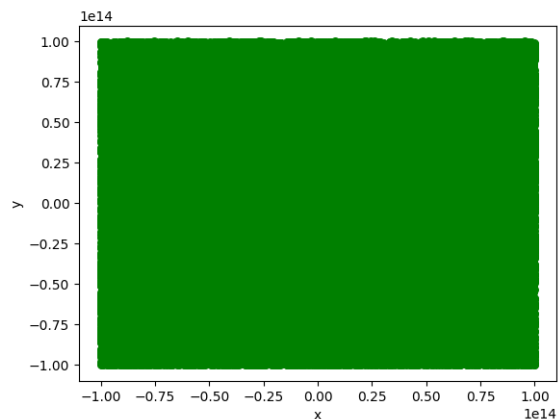
Przedstawione wyniki zostały wygenerowane na komputerze z systemem operacyjnym Debian 12 i procesorem Intel Core i5-8250U 1.6 GHz.

2 Realizacja obliczeń

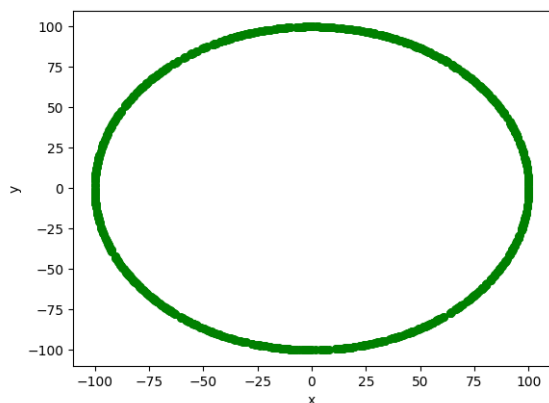
Obliczenia rozpocząłem od przygotowania czterech zbiorów losowych punktów:



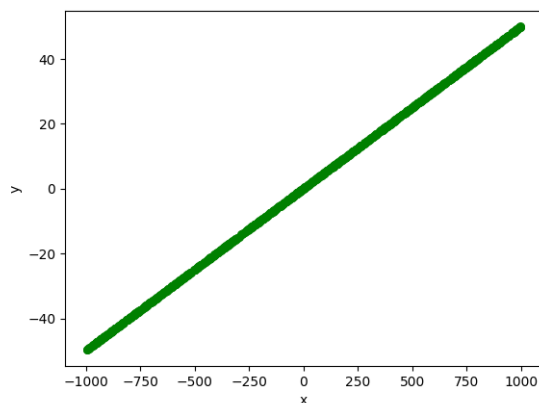
(i) Zbiór A
 10^5 punktów o współrzędnych
z przedziału $[-1000, 1000]$.



(ii) Zbiór B
 10^5 punktów o współrzędnych
z przedziału $[-10^{14}, 10^{14}]$.



(iii) Zbiór C
1000 punktów na okręgu: $x^2 + y^2 = 100$.



(iv) Zbiór D
1000 punktów o współrzędnej $x \in [-1000, 1000]$,
leżących na prostej wyznaczonej przez punkty
 $a = (-1, 0)$, $b = (1, 0.1)$.

Rysunek 2: Wygenerowane zbiory

Następnie każdy z tych zbiorów podzieliłem względem prostej wyznaczonej przez punkty $a = (-1, 0)$, $b = (1, 0.1)$ korzystając z różnych implementacji liczenia wyznacznika, tolerancji dla zera i precyzji liczb zmiennoprzecinkowych. Funkcje, używane przeze mnie do liczenia wyznacznika, to:

- `mat_det_2x2`

(implementacja w załączonym pliku)

- `mat_det_2x2_lib`

(funkcja biblioteczna `numpy.linalg.det`)

- `mat_det_3x3`

(implementacja w załączonym pliku)

- `mat_det_3x3_lib`

(funkcja biblioteczna `numpy.linalg.det`)

3 Wyniki

Tabele 1, 2, 3, 4 i Rysunki 3, 4, 5, 6 przedstawiają wyniki podziałów punktów dla każdego zbioru w zależności od funkcji, tolerancji ($\varepsilon = 0, 10^{-14}, 10^{-12}, 10^{-10}, 10^{-8}$) i precyzji zmiennych (`float64` lub `float32`). Za wyniki w tabelach przyjmuję ilość punktów zakwalifikowanych kolejno po lewej, po prawej i na prostej.

Na wykresach punkty leżące na lewo i prawo od prostej będą zaznaczane kolejno na zielono i pomarańczowo, a punkty leżące na prostej - na fioletowo. Sama prosta jest zaznaczona na czerwono.

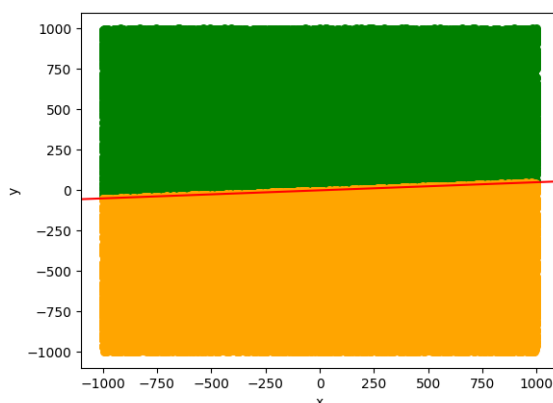
3.1 Zbiór A

Funkcja	Po lewej	Po prawej	Na prostej	Po lewej	Po prawej	Na prostej
$\varepsilon = 0, 1e-14, \dots$	float64			float32		
mat_det_3x3	50084	49916	0	50084	49916	0
mat_det_3x3_lib	50084	49916	0	50084	49916	0
mat_det_2x2	50084	49916	0	50084	49916	0
mat_det_2x2_lib	50084	49916	0	50084	49916	0

Tabela 1: Rozkład punktów dla zbioru A

Dla każdej sprawdzonej tolerancji, precyzji i funkcji wyniki podziału są identyczne i nie występują żadne błędy wynikające z reprezentacji liczb rzeczywistych za pomocą liczb zmiennoprzecinkowych.

Na Rysunku 3 znajduje się wykres podziału punktów, który jest taki sam dla wszystkich sprawdzonych przypadków:



Rysunek 3: Wykres rozkładu punktów w zbiorze A

3.2 Zbiór B

Funkcja	Po lewej	Po prawej	Na prostej	Po lewej	Po prawej	Na prostej
$\varepsilon = 0$	float64			float32		
mat_det_3x3	50120	49880	0	50120	49880	0
mat_det_3x3_lib	50120	49880	0	50120	49880	0
mat_det_2x2	50116	49876	8	0	0	100000
mat_det_2x2_lib	50116	49875	9	6545	6621	86834
$\varepsilon = 1e-14$	float64			float32		
mat_det_3x3	50120	49880	0	50120	49880	0
mat_det_3x3_lib	50120	49880	0	50120	49880	0
mat_det_2x2	50116	49876	8	0	0	100000
mat_det_2x2_lib	50116	49875	9	6545	6621	86834
$\varepsilon = 1e-12$	float64			float32		
mat_det_3x3	50120	49880	0	50120	49880	0
mat_det_3x3_lib	50120	49880	0	50120	49880	0
mat_det_2x2	50116	49876	8	0	0	100000
mat_det_2x2_lib	50116	49875	9	6545	6621	86834
$\varepsilon = 1e-10$	float64			float32		
mat_det_3x3	50120	49880	0	50120	49880	0
mat_det_3x3_lib	50120	49880	0	50120	49880	0
mat_det_2x2	50116	49876	8	0	0	100000
mat_det_2x2_lib	50116	49875	9	6545	6621	86834
$\varepsilon = 1e-8$	float64			float32		
mat_det_3x3	50120	49880	0	50120	49880	0
mat_det_3x3_lib	50120	49880	0	50120	49880	0
mat_det_2x2	50116	49876	8	0	0	100000
mat_det_2x2_lib	50116	49875	9	6545	6621	86834

Tabela 2: Rozkład punktów dla zbioru B

Jak widać w Tabeli 2, wyniki są niezależne od przyjętej tolerancji. Jest tak, ponieważ prawdopodobieństwo znalezienia losowego punktu w zbiorze B na naszej prostej jest astronomicznie małe. Możemy z tego wywnioskować, że zakwalifikowanie jakichkolwiek punktów jako leżących na prostej, wynika z błędu i niewystarczającej precyzji reprezentacji liczb w komputerze.

Pominę wyniki dla funkcji liczących wyznacznik macierzy 3×3 , ponieważ dzielą one nasz zbiór, tak jakbyśmy się tego spodziewali. Najciekawsze wyniki widzimy dla wyznacznika 2×2 , w którym pojawiają się pierwsze błędy. Dla precyzji `float64` występuje ich nieznaczną ilość, lecz dla `float32` wyniki są kompletnie błędne.

Weźmy dla przykładu punkt $c = (-4.507\,465\,4e13, -4.607\,413\,6e13)$. Podążając algorytmem na obliczanie wyznacznika macierzy 2×2 :

$$\begin{aligned} a_x - c_x &= -1 - (-4.507\,465\,4e13) =_{\text{float32}} 4.507\,465\,4e13 \\ b_y - c_y &= 0.1 - (-4.607\,413\,6e13) =_{\text{float32}} 4.607\,413\,6e13 \\ a_y - c_y &= 0 - (-4.607\,413\,6e13) =_{\text{float32}} 4.607\,413\,6e13 \\ b_x - c_x &= 1 - (-4.507\,465\,4e13) =_{\text{float32}} 4.507\,465\,4e13 \\ (a_x - c_x)(b_y - c_y) - (a_y - c_y)(b_x - c_x) &=_{\text{float32}} 0 \end{aligned} \quad (3)$$

Widzimy więc, że reprezentowalne wartości wokół $\pm 10^{13}$, są dla precyzji float32 na tyle rzadkie, iż nie jesteśmy w stanie rozróżnić bliskich sobie wartości.

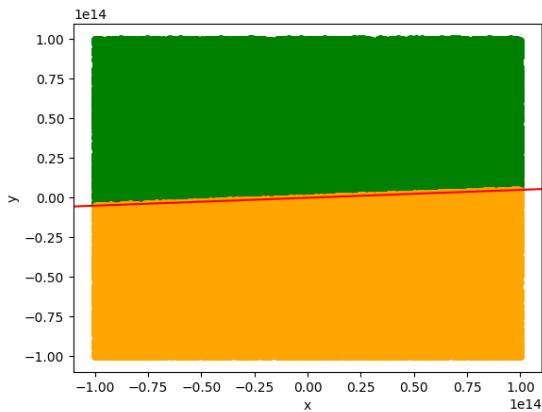
Dla tego samego punktu funkcja biblioteczna zwraca jednak inną wartość:

$$\text{mat_det_2x2_lib}(a, b, c) = 3.521\,457\,4e11 > 0 \quad (4)$$

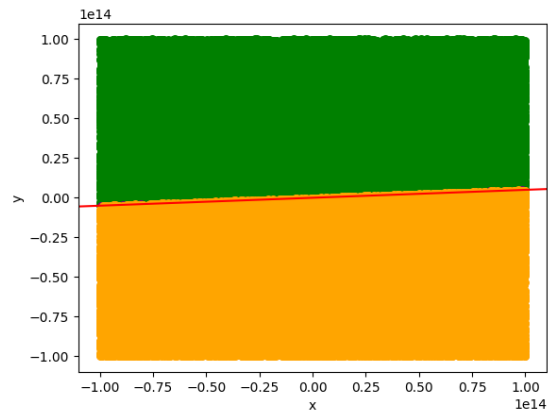
(punkt zakwalifikowany po lewej)

Wynika to prawdopodobnie z innej implementacji liczenia wyznacznika macierzy i wewnętrznych optymalizacji.

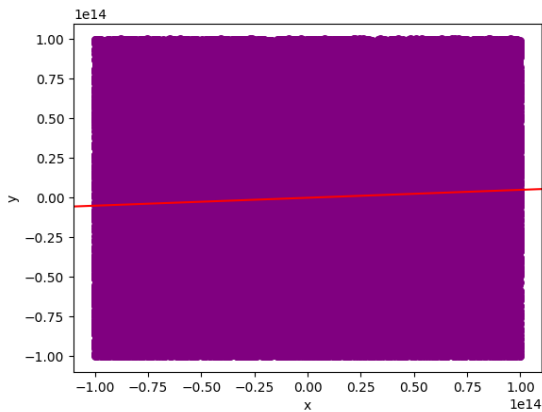
Na Rysunku 4 znajdują się podziały, w których wystąpiły błędy:



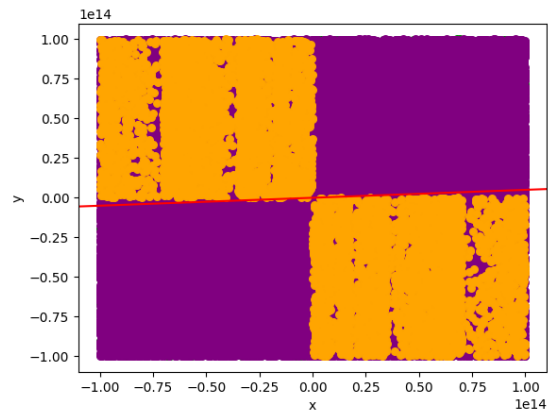
(i) `mat_det_2x2`, `float64`



(ii) `mat_det_2x2_lib`, `float64`



(iii) `mat_det_2x2`, `float32`



(iv) `mat_det_2x2_lib`, `float32`

Rysunek 4: Wykresy wybranych rozkładów punktów w zbiorze B

3.3 Zbiór C

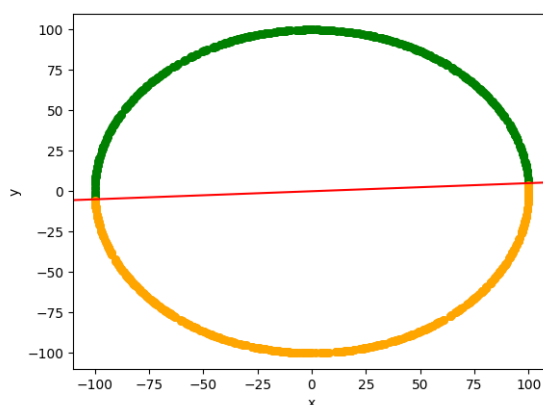
Funkcja	Po lewej	Po prawej	Na prostej	Po lewej	Po prawej	Na prostej
$\varepsilon = 0, 1e-14, \dots$	float64			float32		
mat_det_3x3	484	516	0	484	516	0
mat_det_3x3_lib	484	516	0	484	516	0
mat_det_2x2	484	516	0	484	516	0
mat_det_2x2_lib	484	516	0	484	516	0

Tabela 3: Rozkład punktów dla zbioru C

Podobnie jak dla zbioru A, wszystkie wyniki są identyczne.

Wartości współrzędnych zarówno w tym zbiorze, jak i zbiorze A, są małe, więc wyniki operacji zmien-noprzecinkowych na nich są dokładniejsze. Ponadto nie sprawdzamy dokładnej wartości wyznacznika, lecz tylko jego znak, co jeszcze bardziej ułatwia nam zdobycie poprawnych wyników.

Na Rysunku 5 znajduje się wykres podziału punktów, który jest taki sam dla wszystkich sprawdzonych przypadków:



Rysunek 5: Wykres rozkładu punktów w zbiorze B

3.4 Zbiór D

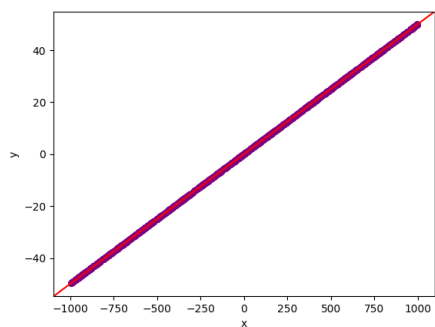
Funkcja	Po lewej	Po prawej	Na prostej	Po lewej	Po prawej	Na prostej
$\varepsilon = 0$	float64			float32		
mat_det_3x3	269	384	347	339	290	371
mat_det_3x3_lib	344	286	370	504	442	54
mat_det_2x2	156	152	692	191	178	631
mat_det_2x2_lib	166	161	673	510	490	0
$\varepsilon = 1e-14$	float64			float32		
mat_det_3x3	0	0	1000	339	290	371
mat_det_3x3_lib	29	40	931	441	387	172
mat_det_2x2	149	148	703	191	178	631
mat_det_2x2_lib	157	153	690	510	490	0
$\varepsilon = 1e-12$	float64			float32		
mat_det_3x3	0	0	1000	339	290	371
mat_det_3x3_lib	0	0	1000	431	374	195
mat_det_2x2	84	91	825	191	178	631
mat_det_2x2_lib	114	105	781	510	490	0
$\varepsilon = 1e-10$	float64			float32		
mat_det_3x3	0	0	1000	339	290	371
mat_det_3x3_lib	0	0	1000	431	374	195
mat_det_2x2	0	0	1000	191	178	631
mat_det_2x2_lib	0	0	1000	510	490	0
$\varepsilon = 1e-8$	float64			float32		
mat_det_3x3	0	0	1000	337	290	373
mat_det_3x3_lib	0	0	1000	429	373	198
mat_det_2x2	0	0	1000	191	178	631
mat_det_2x2_lib	0	0	1000	508	488	4

Tabela 4: Rozkład punktów dla zbioru D

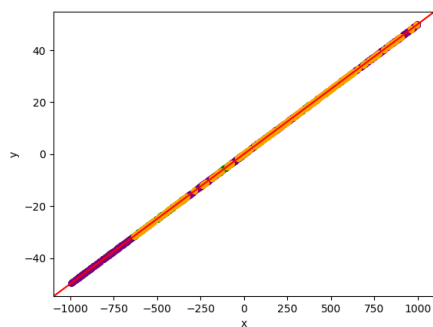
Zbiór D zawiera tylko wartości leżące na omawianej przez nas prostej. Z tego powodu, w teorii, wszystkie punkty powinny zostać zakwalifikowane jako leżące na prostej. Jak widzimy jednak w Tabeli 4, idealne wyniki udało się uzyskać jedynie dla relatywnie dużych tolerancji i precyzji. Jest tak, ponieważ ilość reprezentowanych wartości zmiennoprzecinkowych rośnie blisko zera. Sprawia to, że z większym prawdopodobieństwem wyznaczniki wyliczane są jako bardzo bliskie zera, co wymusza na nas zwiększenie tolerancji.

Dla precyzji `float32` natomiast wszystkie wyniki są bardzo zbliżone do siebie, niezależnie od tolerancji. Wynika to oczywiście z jeszcze większej niedokładności obliczeń. Uzyskanie idealnego podziału wymagałoby więc od nas zwiększenia tolerancji.

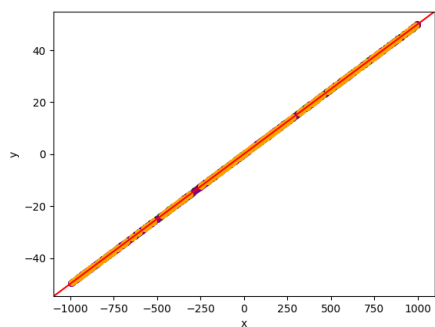
Na Rysunku 6 znajdują się wykresy wybranych przeze mnie rozkładów, które moim zdaniem najlepiej obrazują różne niedokładności w wynikach.



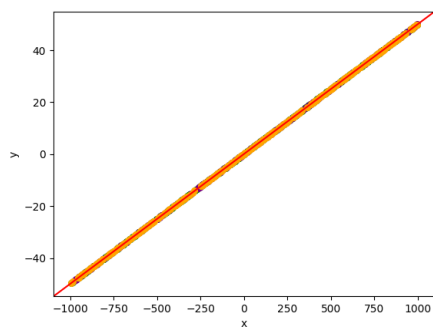
(i) `mat_det_3x3 float64` $\varepsilon = 1e-10$



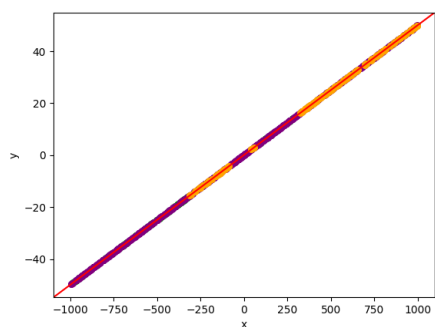
(ii) `mat_det_3x3 float32` $\varepsilon = 1e-10$



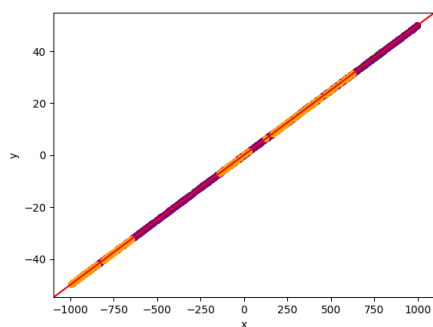
(iii) `mat_det_3x3_lib float64` $\varepsilon = 0$



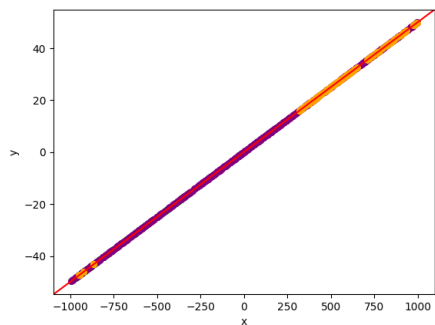
(iv) `mat_det_3x3_lib float32` $\varepsilon = 1e-10$



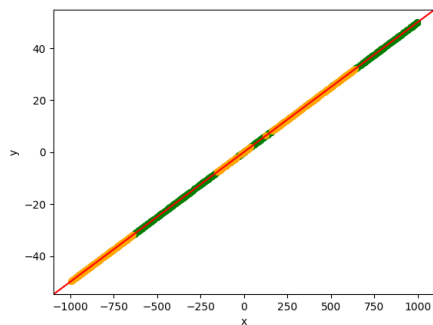
(v) `mat_det_2x2 float64` $\varepsilon = 1e-14$



(vi) `mat_det_2x2 float32` $\varepsilon = 1e-10$



(vii) `mat_det_2x2_lib float64` $\varepsilon = 1e-12$



(viii) `mat_det_2x2_lib float32` $\varepsilon = 1e-10$

Rysunek 6: Wykresy wybranych rozkładów punktów w zbiorze D

4 Podsumowanie

Na podstawie przeprowadzonych obliczeń jesteśmy w stanie wywnioskować, że dobranie tolerancji dla zbiorów A, B i C nie zmieniało w żaden sposób wyniku. W zbiorze B najważniejsza okazała się precyzja i dobór funkcji. Dla wyznaczników 2×2 nawet precyzja `float64` oznaczała kilka błędów, natomiast dla `float32` wyniki były kompletnie błędne. Zbiór D okazał się najbardziej czuły na zmiany w tolerancji, która musiała być całkiem duża, żeby wyniki były w pełni poprawne.

Ostatecznie najbardziej dokładne wyniki zwracały funkcje liczące wyznacznik macierzy 3×3 , z czego najlepiej poradziła sobie funkcja `mat_det_3x3` będąca najprostszą implementacją liczenia wyznacznika metodą Sarrusa. Wyjątkiem jest zbiór D przy użyciu precyzji `float32`, gdzie najbliższe poprawnych wyników była funkcja `mat_det_2x2`.